

Table 1: Summary of Results

Group [†]			Metric [‡]		
Loss	Class Weights	Gamma	Dice Score	Sensitivity	Positive Predictive Value
BCE	1	–	0.64, 0.85 (IQR 0.18-0.90)	0.85, 0.86 (IQR 0.83-0.87)	0.86, 0.86 (IQR 0.85-0.88)
	2	–	0.63, 0.86 (IQR 0.09-0.91)	0.87, 0.87 (IQR 0.84-0.89)	0.84, 0.84 (IQR 0.84-0.86)
	5	–	0.62, 0.79 (IQR 0.22-0.91)	0.84, 0.84 (IQR 0.81-0.87)	0.86, 0.86 (IQR 0.85-0.88)
	10	–	0.71, 0.84 (IQR 0.67-0.91)	0.89, 0.89 (IQR 0.87-0.90)	0.85, 0.85 (IQR 0.84-0.87)
Focal	1	1.5	0.70, 0.85 (IQR 0.65-0.90)	0.87, 0.88 (IQR 0.85-0.90)	0.82, 0.82 (IQR 0.80-0.84)
	1	2.0	0.70, 0.84 (IQR 0.64-0.90)	0.88, 0.89 (IQR 0.86-0.91)	0.85, 0.85 (IQR 0.84-0.86)
	1	3.0	0.66, 0.84 (IQR 0.66-0.92)	0.89, 0.89 (IQR 0.86-0.91)	0.83, 0.83 (IQR 0.82-0.85)
DSC+BCE	1	–	0.63, 0.84 (IQR 0.29-0.90)	0.85, 0.86 (IQR 0.83-0.87)	0.85, 0.85 (IQR 0.83-0.86)
	2	–	0.62, 0.84 (IQR 0.11-0.91)	0.82, 0.83 (IQR 0.80-0.85)	0.88, 0.88 (IQR 0.87-0.89)
	5	–	0.66, 0.87 (IQR 0.56-0.91)	0.86, 0.87 (IQR 0.84-0.89)	0.86, 0.86 (IQR 0.85-0.88)
	10	–	0.68, 0.85 (IQR 0.64-0.89)	0.87, 0.87 (IQR 0.85-0.89)	0.85, 0.86 (IQR 0.84-0.87)
DSC+Focal	1	1.5	0.68, 0.85 (IQR 0.69-0.92)	0.83, 0.84 (IQR 0.81-0.86)	0.89, 0.89 (IQR 0.88-0.91)
	1	2.0	0.71, 0.87 (IQR 0.69-0.91)	0.85, 0.86 (IQR 0.83-0.88)	0.89, 0.89 (IQR 0.87-0.90)
	1	3.0	0.65, 0.86 (IQR 0.61-0.92)	0.84, 0.84 (IQR 0.81-0.86)	0.90, 0.90 (IQR 0.89-0.91)

[†] Results reported for: valid cohort, tumor = positive, axis sft foc = 0, axis sft bce = 0, repeats = 2-3, filters = exp-16, resnet = False, convnext = False

[‡] Table values are shown as: mean, median (interquartile range)















Table 2: Comparison Between Experiments - Dice Score

Group [†]				Violin		Exp [‡]													
Loss	Class Weights	Gamma	Exp	Dice Score		1	2	3	4	5	6	7	8	9	10	11	12	13	14
BCE	1	–	1			–	N.S.	N.S.	*	N.S.	*	N.S.	N.S.	N.S.	N.S.	N.S.	*	N.S.	N.S.
	2	–	2			N.S.	–	N.S.	*	N.S.	N.S.	N.S.	N.S.	N.S.	N.S.	N.S.	*	N.S.	N.S.
	5	–	3			N.S.	N.S.	–	*	*	*	N.S.	N.S.	N.S.	N.S.	*	N.S.	*	N.S.
	10	–	4			*	*	*	–	N.S.	N.S.	N.S.	*	*	N.S.	N.S.	N.S.	N.S.	N.S.
Focal	1	1.5	5			N.S.	N.S.	*	N.S.	–	N.S.	N.S.	*	*	N.S.	N.S.	N.S.	N.S.	N.S.
	1	2.0	6			*	N.S.	*	N.S.	N.S.	–	N.S.	*	*	N.S.	N.S.	N.S.	N.S.	N.S.
	1	3.0	7			N.S.	N.S.	N.S.	N.S.	N.S.	N.S.	–	N.S.	N.S.	N.S.	N.S.	N.S.	N.S.	N.S.
DSC+BCE	1	–	8			N.S.	N.S.	N.S.	*	*	*	N.S.	–	N.S.	N.S.	*	N.S.	*	N.S.
	2	–	9			N.S.	N.S.	N.S.	*	*	*	N.S.	N.S.	–	N.S.	*	N.S.	*	N.S.
	5	–	10			N.S.	N.S.	N.S.	N.S.	N.S.	N.S.	N.S.	N.S.	N.S.	–	N.S.	N.S.	N.S.	N.S.
	10	–	11			N.S.	N.S.	*	N.S.	N.S.	N.S.	N.S.	*	*	N.S.	–	N.S.	N.S.	N.S.
DSC+Focal	1	1.5	12			N.S.	N.S.	N.S.	N.S.	N.S.	N.S.	N.S.	N.S.	N.S.	N.S.	N.S.	–	N.S.	N.S.
	1	2.0	13			*	*	*	N.S.	N.S.	N.S.	N.S.	*	*	N.S.	N.S.	N.S.	–	*
	1	3.0	14			N.S.	N.S.	N.S.	N.S.	N.S.	N.S.	N.S.	N.S.	N.S.	N.S.	N.S.	N.S.	*	–

[†] Results reported for: valid cohort, tumor = positive, axis sft foc = 0, axis sft bce = 0, repeats = 2-3, filters = exp-16, resnet = False, convnext = False

[‡] N.S. = not significant, * = $p < 0.05$















Table 3: Comparison Between Experiments - Sensitivity

Group [†]				Violin	Exp [‡]													
Loss	Class Weights	Gamma	Exp	Sensitivity	1	2	3	4	5	6	7	8	9	10	11	12	13	14
BCE	1	—	1		—	**	**	**	**	**	**	**	**	**	**	**	<i>N.S.</i>	**
	2	—	2		**	—	**	**	**	**	**	**	**	**	<i>N.S.</i>	**	**	**
	5	—	3		**	**	—	**	**	**	**	**	**	**	**	<i>N.S.</i>	**	<i>N.S.</i>
	10	—	4		**	**	**	—	**	**	<i>N.S.</i>	**	**	**	**	**	**	**
Focal	1	1.5	5		**	**	**	**	—	**	**	**	**	**	**	**	**	**
	1	2.0	6		**	**	**	**	**	—	**	**	**	**	**	**	**	**
	1	3.0	7		**	**	**	<i>N.S.</i>	**	**	—	**	**	**	**	**	**	**
DSC+BCE	1	—	8		**	**	**	**	**	**	**	—	**	**	**	**	*	**
	2	—	9		**	**	**	**	**	**	**	**	—	**	**	**	**	**
	5	—	10		**	**	**	**	**	**	**	**	**	—	**	**	**	**
	10	—	11		**	<i>N.S.</i>	**	**	**	**	**	**	**	**	—	**	**	**
DSC+Focal	1	1.5	12		**	**	<i>N.S.</i>	**	**	**	**	**	**	**	**	—	**	*
	1	2.0	13		<i>N.S.</i>	**	**	**	**	**	**	*	**	**	**	**	—	**
	1	3.0	14		**	**	<i>N.S.</i>	**	**	**	**	**	**	**	**	*	**	—

[†] Results reported for: valid cohort, tumor = positive, axis sft foc = 0, axis sft bce = 0, repeats = 2-3, filters = exp-16, resnet = False, convnext = False

[‡] *N.S.* = not significant, * = $p < 0.05$, ** = $p < 0.005$

Table 4: Comparison Between Experiments - Positive Predictive Value

Group [†]				Violin	Exp [‡]													
Loss	Class Weights	Gamma	Exp	Positive Predictive Value	1	2	3	4	5	6	7	8	9	10	11	12	13	14
BCE	1	—	1		—	**	*	**	**	**	**	**	**	<i>N.S.</i>	**	**	**	**
	2	—	2		**	—	**	**	**	<i>N.S.</i>	**	**	**	**	**	**	**	**
	5	—	3		*	**	—	**	**	**	**	**	**	<i>N.S.</i>	**	**	**	**
	10	—	4		**	**	**	—	**	**	**	*	**	**	<i>N.S.</i>	**	**	**
Focal	1	1.5	5		**	**	**	**	—	**	**	**	**	**	**	**	**	**
	1	2.0	6		**	<i>N.S.</i>	**	**	**	—	**	<i>N.S.</i>	**	**	**	**	**	**
	1	3.0	7		**	**	**	**	**	**	—	**	**	**	**	**	**	**
DSC+BCE	1	—	8		**	**	**	*	**	<i>N.S.</i>	**	—	**	**	**	**	**	**
	2	—	9		**	**	**	**	**	**	**	**	—	**	**	**	**	**
	5	—	10		<i>N.S.</i>	**	<i>N.S.</i>	**	**	**	**	**	**	—	**	**	**	**
	10	—	11		**	**	**	<i>N.S.</i>	**	**	**	**	**	**	—	**	**	**
DSC+Focal	1	1.5	12		**	**	**	**	**	**	**	**	**	**	**	—	**	**
	1	2.0	13		**	**	**	**	**	**	**	**	**	**	**	**	—	**
	1	3.0	14		**	**	**	**	**	**	**	**	**	**	**	**	**	—

[†] Results reported for: valid cohort, tumor = positive, axis sft foc = 0, axis sft bce = 0, repeats = 2-3, filters = exp-16, resnet = False, convnext = False

[‡] *N.S.* = not significant, * = $p < 0.05$, ** = $p < 0.005$

Figure 1: Comparison Between Experiments - Violin Plots

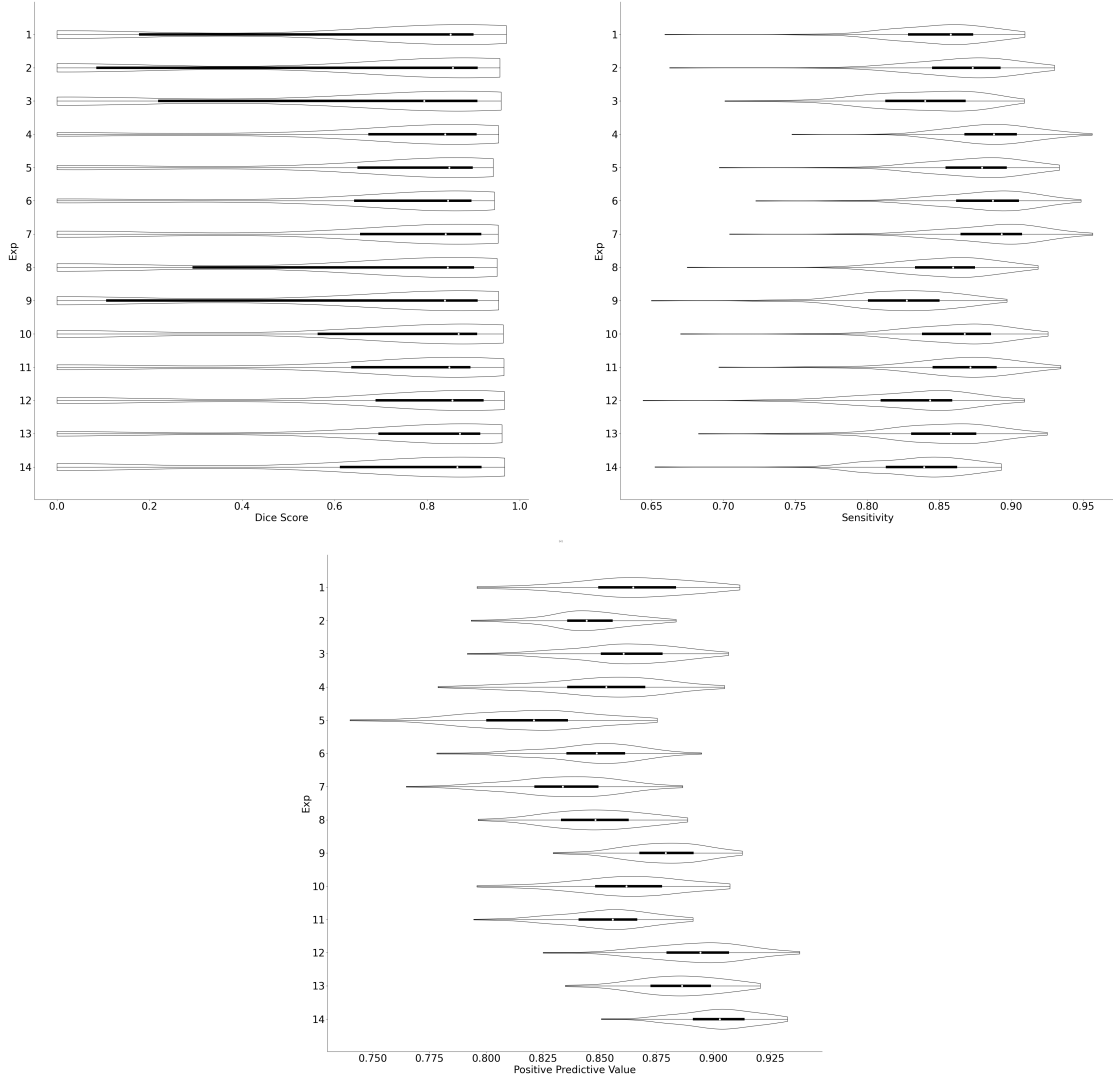


Table 5: Mean Differences - Dice Score

Group [†]				Exp													
Loss	Class Weights	Gamma	Exp	1	2	3	4	5	6	7	8	9	10	11	12	13	14
BCE	1	–	1	–	-0.01 (p = 0.678)	-0.02 (p = 0.223)	0.08 (p = 0.033)	0.06 (p = 0.056)	0.07 (p = 0.048)	0.03 (p = 0.222)	-0.01 (p = 0.702)	-0.02 (p = 0.423)	0.02 (p = 0.287)	0.05 (p = 0.088)	0.05 (p = 0.160)	0.07 (p = 0.031)	0.02 (p = 0.350)
	2	–	2	0.01 (p = 0.678)	–	-0.01 (p = 0.749)	0.09 (p = 0.036)	0.07 (p = 0.068)	0.08 (p = 0.051)	0.04 (p = 0.233)	-0.00 (p = 0.989)	-0.01 (p = 0.707)	0.03 (p = 0.312)	0.06 (p = 0.096)	0.06 (p = 0.143)	0.08 (p = 0.035)	0.03 (p = 0.284)
	5	–	3	0.02 (p = 0.223)	0.01 (p = 0.749)	–	0.09 (p = 0.010)	0.08 (p = 0.021)	0.08 (p = 0.013)	0.04 (p = 0.057)	0.01 (p = 0.772)	-0.00 (p = 0.931)	-0.00 (p = 0.066)	0.04 (p = 0.018)	0.06 (p = 0.065)	0.09 (p = 0.011)	0.03 (p = 0.107)
	10	–	4	-0.08 (p = 0.033)	-0.09 (p = 0.036)	-0.09 (p = 0.010)	–	-0.01 (p = 0.545)	-0.01 (p = 0.330)	-0.05 (p = 0.089)	-0.09 (p = 0.012)	-0.10 (p = 0.020)	-0.06 (p = 0.071)	-0.03 (p = 0.287)	-0.03 (p = 0.286)	-0.00 (p = 0.882)	-0.06 (p = 0.069)
Focal	1	1.5	5	-0.06 (p = 0.056)	-0.07 (p = 0.068)	-0.08 (p = 0.021)	0.01 (p = 0.545)	–	0.00 (p = 0.846)	-0.03 (p = 0.086)	-0.07 (p = 0.014)	-0.08 (p = 0.039)	-0.04 (p = 0.090)	-0.01 (p = 0.420)	-0.02 (p = 0.634)	0.01 (p = 0.645)	-0.04 (p = 0.087)
	1	2.0	6	-0.07 (p = 0.048)	-0.08 (p = 0.051)	-0.08 (p = 0.013)	0.01 (p = 0.330)	-0.00 (p = 0.846)	–	-0.04 (p = 0.119)	-0.08 (p = 0.016)	-0.08 (p = 0.026)	-0.05 (p = 0.094)	-0.02 (p = 0.422)	-0.02 (p = 0.433)	0.01 (p = 0.689)	-0.05 (p = 0.090)
	1	3.0	7	-0.03 (p = 0.222)	-0.04 (p = 0.233)	-0.04 (p = 0.057)	0.05 (p = 0.089)	0.03 (p = 0.086)	0.04 (p = 0.119)	–	-0.04 (p = 0.093)	-0.05 (p = 0.139)	-0.01 (p = 0.495)	0.02 (p = 0.238)	0.02 (p = 0.507)	0.05 (p = 0.107)	-0.01 (p = 0.436)
	1	–	8	0.01 (p = 0.702)	0.00 (p = 0.989)	-0.01 (p = 0.772)	0.09 (p = 0.012)	0.07 (p = 0.014)	0.08 (p = 0.016)	0.04 (p = 0.093)	–	-0.01 (p = 0.704)	0.03 (p = 0.081)	0.06 (p = 0.035)	0.06 (p = 0.077)	0.08 (p = 0.009)	0.03 (p = 0.153)
DSC+BCE	2	–	9	0.02 (p = 0.423)	0.01 (p = 0.707)	0.00 (p = 0.931)	0.10 (p = 0.020)	0.08 (p = 0.039)	0.08 (p = 0.026)	0.05 (p = 0.139)	0.01 (p = 0.704)	–	0.04 (p = 0.143)	0.07 (p = 0.031)	0.06 (p = 0.080)	0.09 (p = 0.020)	0.04 (p = 0.181)
	5	–	10	-0.02 (p = 0.287)	-0.03 (p = 0.312)	-0.04 (p = 0.066)	0.06 (p = 0.071)	0.04 (p = 0.090)	0.05 (p = 0.094)	0.01 (p = 0.495)	-0.03 (p = 0.081)	-0.04 (p = 0.143)	–	0.03 (p = 0.177)	0.03 (p = 0.304)	0.06 (p = 0.050)	-0.00 (p = 0.912)
	10	–	11	-0.05 (p = 0.088)	-0.06 (p = 0.096)	-0.06 (p = 0.018)	0.03 (p = 0.287)	0.01 (p = 0.420)	0.02 (p = 0.422)	-0.02 (p = 0.238)	-0.06 (p = 0.035)	-0.07 (p = 0.031)	-0.03 (p = 0.177)	–	-0.00 (p = 0.963)	0.03 (p = 0.295)	-0.03 (p = 0.177)
	1	1.5	12	-0.05 (p = 0.160)	-0.06 (p = 0.143)	-0.06 (p = 0.065)	0.03 (p = 0.286)	0.02 (p = 0.634)	0.02 (p = 0.433)	-0.02 (p = 0.507)	-0.06 (p = 0.077)	-0.06 (p = 0.089)	-0.03 (p = 0.304)	0.00 (p = 0.963)	–	0.03 (p = 0.270)	-0.03 (p = 0.270)
DSC+Focal	1	2.0	13	-0.07 (p = 0.031)	-0.08 (p = 0.035)	-0.09 (p = 0.011)	0.01 (p = 0.882)	-0.01 (p = 0.645)	-0.05 (p = 0.689)	-0.05 (p = 0.107)	-0.08 (p = 0.009)	-0.08 (p = 0.020)	-0.05 (p = 0.050)	-0.03 (p = 0.295)	-0.03 (p = 0.270)	–	-0.06 (p = 0.048)
	1	3.0	14	-0.02 (p = 0.350)	-0.03 (p = 0.284)	-0.03 (p = 0.107)	0.06 (p = 0.069)	0.04 (p = 0.087)	0.05 (p = 0.090)	0.01 (p = 0.436)	-0.03 (p = 0.153)	-0.04 (p = 0.181)	0.00 (p = 0.912)	0.03 (p = 0.177)	0.03 (p = 0.270)	0.06 (p = 0.048)	–

[†] Results reported for: valid cohort, tumor = positive, axis sft foc = 0, axis sft boc = 0, repeats = 2-3, filters = exp-16, reset = False, convnext = False

Table 6: Mean Differences - Sensitivity

Group [†]				Exp														
Loss	Class	Weights	Gamma	Exp	1	2	3	4	5	6	7	8	9	10	11	12	13	14
BCE	1	-	1		-	0.02	-0.01	0.04	0.02	0.03	0.03	0.00	-0.03	0.01	0.01	-0.02	0.00	-0.01
						(p < 0.001)	(p < 0.001)	(p < 0.001)	(p < 0.001)	(p < 0.001)	(p < 0.001)	(p < 0.001)	(p < 0.001)	(p < 0.001)	(p < 0.001)	(p < 0.001)	(p = 0.691)	(p < 0.001)
	2	-	2		-	-0.02	0.01	-0.02	0.01	-0.02	0.01	-0.04	-0.03	-	-	-	-	-
						(p < 0.001)	-	(p < 0.001)	(p < 0.001)	(p < 0.001)	(p < 0.001)	(p < 0.001)	(p < 0.001)	(p < 0.001)	(p < 0.001)	(p < 0.259)	(p < 0.001)	(p < 0.001)
5	-	3		-	0.01	0.03	-	0.05	0.04	0.04	0.05	0.02	-0.01	0.02	0.03	-0.01	0.01	-0.00
					(p < 0.001)	(p < 0.001)	-	(p < 0.001)	(p < 0.001)	(p < 0.001)	(p < 0.001)	(p < 0.001)	(p < 0.001)	(p < 0.001)	(p < 0.001)	(p < 0.001)	(p = 0.071)	(p < 0.001)
10	-	4		-	-0.04	-0.02	-0.05	-	-0.01	-0.00	-0.00	-0.03	-0.06	-0.02	-0.02	-0.05	-0.03	-0.05
					(p < 0.001)	(p < 0.001)	(p < 0.001)	-	(p < 0.001)	(p = 0.002)	(p = 0.789)	(p < 0.001)	(p < 0.001)	(p < 0.001)	(p < 0.001)	(p < 0.001)	(p < 0.001)	(p < 0.001)
Focal	1	1.5	5		-	-0.02	-0.01	-0.04	0.01	-	0.01	0.01	-0.02	-0.05	-0.01	-0.01	-0.04	-0.02
						(p < 0.001)	(p < 0.001)	(p < 0.001)	(p < 0.001)	-	(p < 0.001)	(p < 0.001)	(p < 0.001)	(p < 0.001)	(p < 0.001)	(p < 0.001)	(p < 0.001)	(p < 0.001)
	1	2.0	6		-	-0.03	-0.01	-0.04	0.00	-0.01	-	0.00	-0.03	-0.06	-0.02	-0.02	-0.05	-0.03
						(p < 0.001)	(p < 0.001)	(p < 0.001)	(p = 0.002)	(p < 0.001)	-	(p < 0.001)	(p < 0.001)	(p < 0.001)	(p < 0.001)	(p < 0.001)	(p < 0.001)	(p < 0.001)
1	3.0	7		-	-0.03	-0.02	-0.05	0.00	-0.01	-0.00	-	-0.03	-0.06	-0.02	-0.02	-0.05	-0.03	-0.05
					(p < 0.001)	(p < 0.001)	(p < 0.001)	(p = 0.789)	(p < 0.001)	(p < 0.001)	-	(p < 0.001)	(p < 0.001)	(p < 0.001)	(p < 0.001)	(p < 0.001)	(p < 0.001)	(p < 0.001)
DSC+BCE	1	-	8		-	-0.00	0.01	-0.02	0.03	0.02	0.03	0.03	-	-0.03	0.01	0.01	-0.02	-0.00
						(p < 0.001)	(p < 0.001)	(p < 0.001)	(p < 0.001)	(p < 0.001)	(p < 0.001)	(p < 0.001)	-	(p < 0.001)	(p < 0.001)	(p < 0.001)	(p < 0.001)	(p = 0.038)
	2	-	9		-	0.03	0.04	0.01	0.06	0.05	0.06	0.03	-	0.04	0.04	0.01	0.03	0.01
						(p < 0.001)	(p < 0.001)	(p < 0.001)	(p < 0.001)	(p < 0.001)	(p < 0.001)	(p < 0.001)	-	(p < 0.001)	(p < 0.001)	(p < 0.001)	(p < 0.001)	(p < 0.001)
5	-	10		-	-0.01	0.01	-0.02	0.02	0.01	0.02	0.02	-0.01	-0.04	-	0.00	-0.03	-0.01	-0.02
					(p < 0.001)	(p < 0.001)	(p < 0.001)	(p < 0.001)	(p < 0.001)	(p < 0.001)	(p < 0.001)	(p < 0.001)	(p < 0.001)	(p < 0.001)	-	(p < 0.001)	(p < 0.001)	(p < 0.001)
10	-	11		-	-0.01	0.00	-0.03	0.02	0.01	0.02	0.01	-0.04	-	-0.02	-0.01	-0.03	-0.01	-0.03
					(p < 0.001)	(p = 0.259)	(p < 0.001)	(p < 0.001)	(p < 0.001)	(p < 0.001)	(p < 0.001)	(p < 0.001)	(p < 0.001)	(p < 0.001)	(p < 0.001)	-	(p < 0.001)	(p < 0.001)
DSC+Focal	1	1.5	12		-	0.02	0.03	0.01	0.05	0.04	0.05	0.05	0.02	-0.01	0.03	0.03	-	0.02
						(p < 0.001)	(p < 0.001)	(p = 0.071)	(p < 0.001)	(p < 0.001)	(p < 0.001)	(p < 0.001)	(p < 0.001)	(p < 0.001)	(p < 0.001)	(p < 0.001)	-	(p < 0.001)
	1	2.0	13		-	-0.00	0.02	-0.01	0.03	0.02	0.03	0.03	0.00	-0.03	0.01	0.01	-0.02	-
						(p = 0.691)	(p < 0.001)	(p < 0.001)	(p < 0.001)	(p < 0.001)	(p < 0.001)	(p = 0.038)	(p < 0.001)	(p < 0.001)	(p < 0.001)	(p < 0.001)	-	(p < 0.001)
1	3.0	14		-	0.01	0.03	0.00	0.05	0.04	0.04	0.05	0.02	-0.01	0.02	0.03	-0.00	0.01	
					(p < 0.001)	(p < 0.001)	(p = 0.343)	(p < 0.001)	(p < 0.001)	(p < 0.001)	(p < 0.001)	(p < 0.001)	(p < 0.001)	(p < 0.001)	(p < 0.001)	(p < 0.001)	(p = 0.036)	(p < 0.001)

[†] Results reported for: valid cohort, tumor = positive, axis sft foc = 0, axis sft bce = 0, repeats = 2-3, filters = exp-16, resnet = False, convnext = False

Table 7: Mean Differences - Positive Predictive Value

Group [†]				Exp														
Loss	Class	Weights	Gamma	Exp	1	2	3	4	5	6	7	8	9	10	11	12	13	14
BCE	1	-	1	-	-0.02 (p < 0.001)	-0.00 (p = 0.007)	-0.01 (p < 0.001)	-0.04 (p < 0.001)	-0.02 (p < 0.001)	-0.03 (p < 0.001)	-0.02 (p < 0.001)	0.01 (p < 0.001)	-0.00 (p = 0.061)	-0.01 (p < 0.001)	0.03 (p < 0.001)	0.02 (p < 0.001)	0.04 (p < 0.001)	0.04 (p < 0.001)
				0.02 (p < 0.001)	0.02 (p < 0.001)	0.01 (p < 0.001)	-0.03 (p < 0.001)	0.00 (p = 0.423)	-0.01 (p < 0.001)	0.00 (p = 0.003)	0.03 (p < 0.001)	0.02 (p < 0.001)	0.01 (p < 0.001)	0.05 (p < 0.001)	0.04 (p < 0.001)	0.06 (p < 0.001)		
	5	-	3	0.00 (p = 0.007)	-0.02 (p < 0.001)	-0.01 (p < 0.001)	-0.04 (p < 0.001)	-0.01 (p < 0.001)	-0.03 (p < 0.001)	-0.01 (p < 0.001)	-0.02 (p < 0.001)	0.00 (p = 0.240)	0.03 (p < 0.001)	0.01 (p = 0.311)	0.00 (p < 0.001)	0.04 (p < 0.001)	0.03 (p < 0.001)	0.05 (p < 0.001)
				0.01 (p < 0.001)	-0.01 (p < 0.001)	0.01 (p < 0.001)	-	-0.03 (p < 0.001)	-0.01 (p < 0.001)	-0.02 (p < 0.001)	-0.00 (p = 0.045)	0.03 (p < 0.001)	0.01 (p < 0.001)	0.00 (p < 0.001)	0.04 (p < 0.001)	0.03 (p < 0.001)	0.04 (p < 0.001)	0.05 (p < 0.001)
Focal	1	1.5	5	0.04 (p < 0.001)	0.03 (p < 0.001)	0.04 (p < 0.001)	0.03 (p < 0.001)	-	0.03 (p < 0.001)	0.01 (p < 0.001)	0.03 (p < 0.001)	0.06 (p < 0.001)	0.04 (p < 0.001)	0.03 (p < 0.001)	0.07 (p < 0.001)	0.07 (p < 0.001)	0.08 (p < 0.001)	0.08 (p < 0.001)
				0.02 (p < 0.001)	-0.00 (p = 0.423)	0.01 (p < 0.001)	0.01 (p < 0.001)	-0.03 (p < 0.001)	-	-0.01 (p < 0.001)	0.00 (p = 0.174)	0.03 (p < 0.001)	0.02 (p < 0.001)	0.01 (p < 0.001)	0.05 (p < 0.001)	0.04 (p < 0.001)	0.06 (p < 0.001)	0.07 (p < 0.001)
	1	2.0	6	0.03 (p < 0.001)	0.01 (p < 0.001)	0.03 (p < 0.001)	0.02 (p < 0.001)	-0.01 (p < 0.001)	0.01 (p < 0.001)	-	0.01 (p < 0.001)	0.01 (p < 0.001)	0.04 (p < 0.001)	0.03 (p < 0.001)	0.02 (p < 0.001)	0.06 (p < 0.001)	0.05 (p < 0.001)	0.07 (p < 0.001)
DSC+BCE	1	-	8	0.02 (p < 0.001)	-0.00 (p = 0.003)	0.01 (p < 0.001)	0.00 (p = 0.045)	-0.03 (p < 0.001)	-0.02 (p = 0.174)	-0.01 (p < 0.001)	-0.03 (p < 0.001)	-	0.03 (p < 0.001)	0.01 (p < 0.001)	0.00 (p < 0.001)	0.04 (p < 0.001)	0.04 (p < 0.001)	0.05 (p < 0.001)
				-0.01 (p < 0.001)	-0.02 (p < 0.001)	-0.03 (p < 0.001)	-0.06 (p < 0.001)	-0.03 (p < 0.001)	-0.04 (p < 0.001)	-0.03 (p < 0.001)	-	-0.02 (p < 0.001)	0.01 (p < 0.001)	0.01 (p < 0.001)	0.02 (p < 0.001)	0.01 (p < 0.001)	0.02 (p < 0.001)	0.03 (p < 0.001)
	5	-	9	0.00 (p < 0.001)	-0.02 (p < 0.001)	-0.00 (p < 0.001)	-0.01 (p < 0.001)	-0.04 (p < 0.001)	-0.02 (p < 0.001)	-0.03 (p < 0.001)	-0.01 (p < 0.001)	0.02 (p < 0.001)	-	-0.01 (p < 0.001)	0.03 (p < 0.001)	0.02 (p < 0.001)	0.04 (p < 0.001)	
				0.01 (p = 0.061)	-0.01 (p < 0.001)	0.01 (p = 0.240)	-0.00 (p < 0.001)	-0.01 (p < 0.001)	-0.01 (p < 0.001)	-0.02 (p < 0.001)	-0.00 (p < 0.001)	0.03 (p < 0.001)	0.01 (p < 0.001)	-	0.04 (p < 0.001)	0.03 (p < 0.001)	0.03 (p < 0.001)	0.05 (p < 0.001)
DSC+Focal	1	1.5	12	-0.03 (p < 0.001)	-0.05 (p < 0.001)	-0.03 (p < 0.001)	-0.04 (p < 0.001)	-0.07 (p < 0.001)	-0.05 (p < 0.001)	-0.06 (p < 0.001)	-0.04 (p < 0.001)	-0.01 (p < 0.001)	-0.03 (p < 0.001)	-0.04 (p < 0.001)	-	-0.01 (p < 0.001)	-0.01 (p < 0.001)	0.01 (p < 0.001)
				-0.02 (p < 0.001)	-0.04 (p < 0.001)	-0.02 (p < 0.001)	-0.03 (p < 0.001)	-0.07 (p < 0.001)	-0.04 (p < 0.001)	-0.05 (p < 0.001)	-0.04 (p < 0.001)	-0.01 (p < 0.001)	-0.03 (p < 0.001)	-0.04 (p < 0.001)	-0.01 (p < 0.001)	-0.03 (p < 0.001)	-0.04 (p < 0.001)	0.01 (p < 0.001)
	1	2.0	13	-0.04 (p < 0.001)	-0.06 (p < 0.001)	-0.04 (p < 0.001)	-0.05 (p < 0.001)	-0.08 (p < 0.001)	-0.06 (p < 0.001)	-0.07 (p < 0.001)	-0.05 (p < 0.001)	-0.02 (p < 0.001)	-0.04 (p < 0.001)	-0.05 (p < 0.001)	-0.01 (p < 0.001)	-0.02 (p < 0.001)	-	-

[†] Results reported for: valid cohort, tumor = positive, axis sft foc = 0, axis sft bce = 0, repeats = 2-3, filters = exp-16, resnet = False, convnext = False